



شیمی کانی‌های گارنت و کلینوپیروکسن در اسکارن سرانجیک و شرایط فیزیکوشیمیایی تشکیل آن‌ها در قروه، استان کردستان

زهره اعلمی‌نیا^{*}، سید محمد حسین رضوی، بهزاد مهرابی

گروه ژئوشیمی، دانشکده علوم زمین، دانشگاه خوارزمی، ایران

(دریافت مقاله: ۹۶/۱۱/۷، سخن‌نهایی: ۹۷/۳/۲۸)

چکیده: اسکارن سرانجیک در اثر تزریق توده نفوذی با ترکیب گرانیتی قروه به سن ژوراسیک پسین در سنگ‌های کربناتی ناخالص تشکیل شده است. بازدیدهای صحرایی و بررسی‌های کانی‌شناسی نشان داد که بروون اسکارن، گستردترین افق اسکارنی در اسکارن سرانجیک بوده و از نوع کلسیمی به‌همراه لبه باریکی از کانی‌های اسکارن منیزیمی است. مجموعه کانی‌ها نشان‌دهنده دو مرحله پیشرونده و پسرونده است. مرحله پیشرونده بیشتر توسط کانی‌های گارنت و کلینوپیروکسن مشخص می‌شود. شواهد بافتی و تجزیه شیمیایی به روش ریزپردازش الکترونی (EPMA) کانی‌های گارنت و کلینوپیروکسن نشان داد که دو نوع کلینوپیروکسن و سه نوع گارنت در پهنه‌های گوناگون طی مرحله پیشرونده در دگرگونی اسکارن وجود دارد. کلینوپیروکسن نوع I با دو ترکیب سالیت (Hd_{27-40}) و فروسالیت ($Di_{58-51} J_{08-14}$) و $Di_{27-16} J_{08-13}$ به ترتیب در پهنه‌های فورستریت-کلینوپیروکسن و گارنت-زوووبانیت-کلینوپیروکسن دیده می‌شود. کلینوپیروکسن نوع II با ترکیب حد بواسطه سالیتی-فروسالیتی ($Hd_{36-48} Di_{43-51} J_{07-12}$) در پهنه گارنت-زوووبانیت-کلینوپیروکسن گسترش دارد که همراه با تبلور شیلیت مشخص می‌شود. گارنت‌ها بیشتر در پهنه‌های میانی تا نزدیک به توده نفوذی قرار دارند. گارنت نوع I با ترکیب گراندیتی غنی از گروسوول ($Grs_{45} And_{40} Grs_{65}$ تا And_{25}) با نسبت پیرالسپیتی کمتر از ۰/۱ درصد مولی مشخص می‌شود و شواهد بافتی تبلور همزمان آن I و کلینوپیروکسن نوع I را تایید می‌کند و در پهنه گارنت-زوووبانیت-کلینوپیروکسن گسترش یافته است. گارنت نوع II با ترکیب از $Grs_{50} And_{25} Pyr_{35}$ تا $And_{20} Pyr_{40}$ و گارنت نوع III با ترکیب از $Grs_{70} Pyr_{40}$ تا Pyr_{30} در مقایسه با گارنت نوع I دربردارنده پیرالسپیت بیشترند و در مجاورت توده نفوذی قرار دارند. بر اساس مجموعه‌های کانیایی، گارنت نوع I در شرایط اکسایشی در پهنه‌های دورتر نسبت به گارنت نوع II و III ایجاد شده است. از طرفی، به نظر می‌رسد که نسبت‌های گارنت به کلینوپیروکسن مشاهده شده در اسکارن سرانجیک از حجم بالای فلوئور ناشی از سیال ماقمایی ناشی شده باشد. همچنین، حضور فلوئور بالا در محیط سبب افزایش درصد حجمی زوووبانیت و کاهاش به نسبت شدید درصد حجمی کلینوپیروکسن شده است. ترکیب نسل‌های گوناگون کلینوپیروکسن و گارنت در اسکارن سرانجیک قروه نشان-دهنده روند دگرگونی اسکارن پیشرونده از شرایط نسبتاً اکسایشی تا نسبتاً احیایی و گریزندگی اکسیژن معادل با ۳۰-۱۸ تا است.

واژه‌های کلیدی: ترکیب شیمیایی؛ گارنت؛ کلینوپیروکسن؛ اسکارن سرانجیک؛ قروه؛ کردستان.

اگرچه نوع اسکارن‌ها به‌نهایی با ترکیب کلینوپیروکسن و گارنت موجود در آن‌ها مشخص نمی‌شوند، اما ترکیب هر دوی آن‌ها می‌تواند به عنوان راهنمای مناسب و تقریباً یگانه‌ای در تعیین محیط تشکیل مورد استفاده قرار گیرد [۸-۱۲]. این‌نوعی

مقدمه نوع اسکارن تشکیل شده به شرایط زمین‌شناسی، ترکیب سنگ‌های میزبان و سنگ‌های آذرین وابسته به آن، عمق تشکیل و گریزندگی اکسیژن و گوگرد بستگی دارد [۱-۷].

بحث و بررسی زمین‌شناسی منطقه

اسکارن سرانجیک قروه در شرق استان کردستان و در گستره جغرافیایی $11^{\circ} 47' 45''$ تا $14^{\circ} 35' 08''$ عرض شمالی قرار دارد. این منطقه در بخش شمالی پهنه سندنج-سیرجان واقع است. در این بخش، توده‌های گرانیت‌وئیدی در سنگ‌های رسوبی به سن تریاس-ژوراسیک نفوذ کرده است [۱۵] (شکل ۱ الف) و در مناطقی چون ابراهیم عطار، گالالی و میهم سبب اسکارن‌زایی شده است. این سنگ‌ها در زمان‌های گوناگون در اثر انواع دگرگونی‌های ناحیه‌ای، گرمایی و دینامیکی قرار گرفته‌اند [۱۵].

بررسی‌های سن‌سنجدی گرانیت‌وئیدها نشان می‌دهد که بیشتر این توده‌ها وابسته به دوره ژوراسیک پسین (۱۴۵ تا ۱۷۰ میلیون سال پیش) هستند [۲۱-۱۶].

توده نفوذی سرانجیک قروه بیشتر از گرانیت متوسط دانه با بافت دانه‌ای تشکیل شده در بردارنده درونبوم ریزدانه‌ای مافیک بیضوی یا کروی شکل ریزدانه با ترکیبات کوارتز مونزودیوریت و دیوریت است. توده نفوذی در بخش‌هایی که اندازه بلورها کاهش و مقدار فلدسپار افزایش می‌یابد، اغلب توسط لوکوگرانیت، دایک‌های آپلیتی گرانیتی و رگه‌های کوارتز (شکل ۲ الف) به‌سمت مرز اسکارنی قطع می‌شوند.

نفوذ توده سرانجیک در سنگ میزان سبب دگرگونی مجاورتی با ترکیب مرمر، هورنفلس کلسیتی-سیلیکاتی و اسکارن شده است (شکل ۱ ب). هم‌چنین در سنگ‌های آذرین منطقه سرانجیک قروه طیف گسترده‌ای از دگرسانی دیده می‌شود. مهم‌ترین این دگرسانی‌ها، دگرسانی پتاسیمی، کوارتز سریسیتی (فلسی)، رسی و پروپلیتی هستند. اسکارن سرانجیک به صورت نوارهای باریک با عرض بین 0.3 تا 3 متر و طول 100 متر با راستای شمالی-جنوبی دیده می‌شود. براساس شواهد صحرایی و بررسی‌های میکروسکوپی، اسکارن سرانجیک شامل دو ناحیه درون‌اسکارن و برون‌اسکارن است. ناحیه برون‌اسکارن بسیار گسترده و مهم‌ترین پهنه اسکارن سرانجیک قروه است و پهنه درون‌اسکارن بسیار محدود است. هم‌بودی برون‌اسکارن با توده نفوذی و مرمر به صورت تیز و ناگهانی و کاملاً مشخص است (شکل ۲ ب).

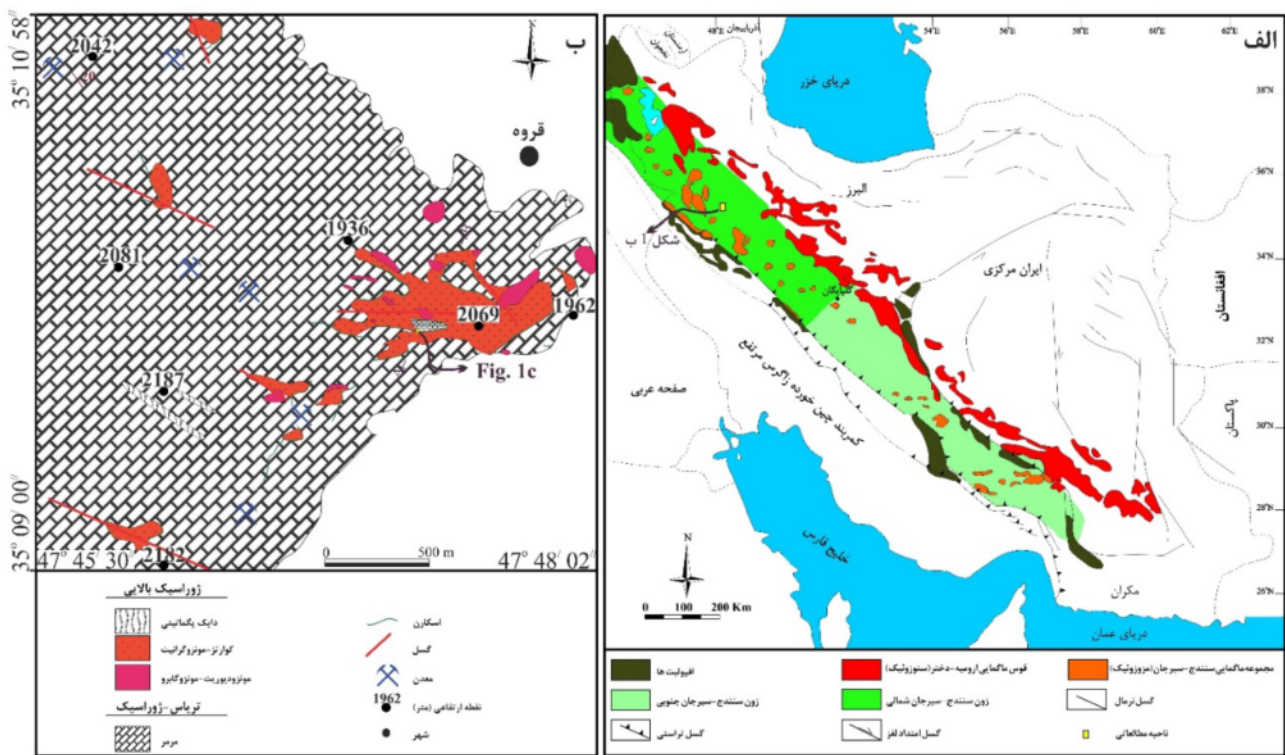
و همکارش [۷] تغییر ترکیب شیمیایی کلینوپیروکسن‌ها در ذخایر اسکارنی را متناسب با تغییرات در نوع کانسسارسازی اسکارن (فلز غالب) می‌دانند. آنها ذخایر اسکارنی را به ۵ گروه کانسسارهای مس، آهن، سرب-روی، تنگستن و قلع تقسیم نموده‌اند. هم‌چنین مینرت [۴] وابستگی ترکیب شیمیایی کانی‌های اصلی سازنده اسکارن و نوع کانی‌زایی در آن را بیان نموده است، که بر این اساس می‌توان گفت که ترکیب گارنت در اسکارن مس، از نوع آندرادیت، در اسکارن قلع از نوع گروسوولر-آندرادیت-آلماندن، در اسکارن تنگستن از نوع اسپسارتین، در اسکارن سرب-روی و اسکارن طلا از نوع محلول جامد گروسوولر-آندرادیت و در اسکارن آهن و مولیبدن گارنت از نوع آندرادیت است.

گارنت و کلینوپیروکسن کانی‌های غالب در اسکارن‌ها و نخستین برآوردهای برهمکنش سیال-سنگ هستند [۷]. از این‌رو، زمین‌شیمی این کانی‌ها به عنوان شاخصی از پتانسیل برهم‌کنش پیچیده بین این متغیرها در سرتاسر سیستم اسکارنی است.

هدف از این پژوهش بررسی بافتی، سنگ نگاری و زمین‌شیمی گارنت‌ها و کلینوپیروکسن‌های موجود در اسکارن سرانجیک قروه به‌منظور شناخت بهتری از محیط تشکیل اسکارن است. افزون بر این گارنت نیمه‌کلسیمی در اسکارن شیلیت‌دار سرانجیک قروه نیز مورد توجه قرار گرفته است.

روش بررسی

در بررسی‌های صحرایی در مسیرهای گوناگون ۲۷۱ نمونه به صورت منظم از توده نفوذی تا سنگ دیواره برداشت شد. در این پژوهش، نخست مقاطع نازک از نظر سنگ‌شناسی و کانی-شناصی بررسی شدند و سپس تجزیه کمی عناصر اصلی در ۱۶ مقطع نازک-صیقلی از انواع بلورهای گارنت و کلینوپیروکسن Cameca-TSX100 در مرکز پژوهشی دانشگاه رم ایتالیا انجام شد. ولتاژ و جریان مورد استفاده برای این تجزیه به ترتیب برابر با $12kV$ و $10nA$ بوده است. برنامه تابع R [۱۳] و برنامه Winpyrox [۱۴] نیز به ترتیب جهت پردازش نتایج تجزیه‌های گارنت و پیروکسن به منظور برآورد مقدار آهن سه ظرفیتی و دو ظرفیتی و سازای اعضای انتهایی گارنت و کلینوپیروکسن استفاده شد.



شکل ۱ الف: جایگاه منطقه مورد بررسی در بخش شمالی پهنه سندنج-سیرجان [۱۵] و ب) نقشه زمین‌شناسی منطقه سرانجیک قروه و جایگاه اسکارن‌ها بر آن (برگرفته از نقشه زمین‌شناسی ۱/۱۰۰۰۰۰ قروه با تغییرات [۱۷]).



شکل ۲ الف: دایک آپیتی در توده گرانیتی و ب) همبry کاملاً نمایان و مشخص برون اسکارن با سنگ دیواره مرمری.

سرانجیک قروه، مدل منطقه‌بندی از توده گرانیتی به سمت جبهه مرمری به صورت پهنه‌های کوارتز-گارنت اسکارن، گارنت-وزوویانیت-کلینوپیروکسن اسکارن و کلینوپیروکسن-وزوویانیت اسکارن (شکل ۴ الف) است. افزون بر این، پهنه اسکارن مینیزیمی در محل تماس کلینوپیروکسن-وزوویانیت اسکارن و جبهه مرمری که گسترش آن بسیار محدود است و

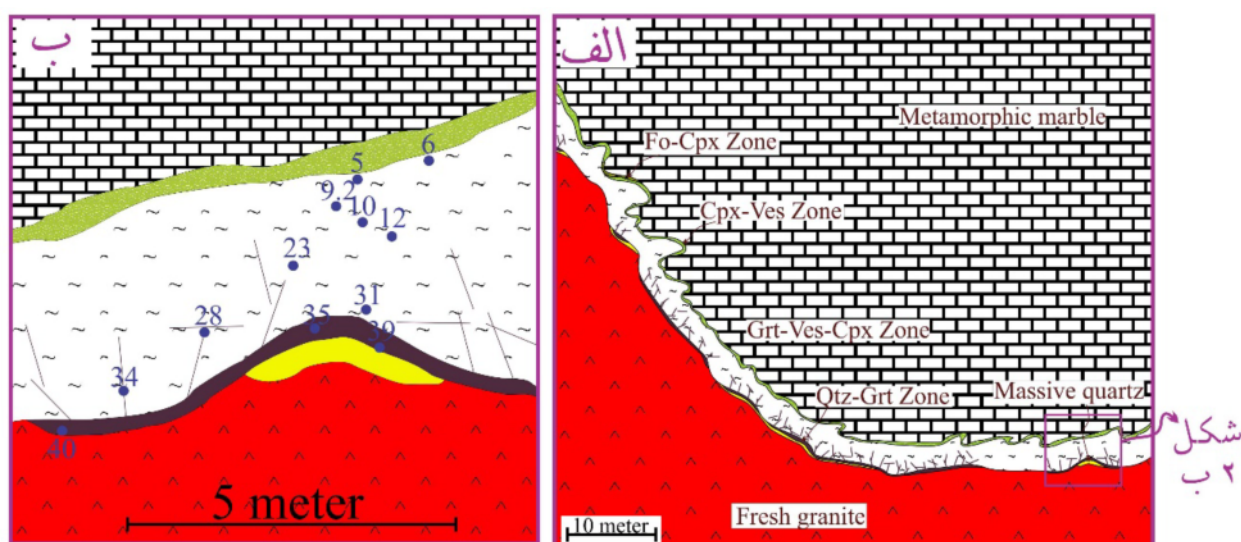
اسکارن سرانجیک قروه با دو مرحله پیشرونده و پسرونده مشخص می‌شود. مرحله پیشرونده شامل کانی‌های بی‌آب و دمای بالا (از جمله کلینوپیروکسن، گارنت، پلاژیوکلاز و شیلیت) و مرحله پسرونده دربردارنده کانی‌های آبدار و یا دمای پایین چون اپیدوت، کلسیت، کوارتز و کلریت است (شکل ۳). با توجه به فراوانی کانی‌ها در بخش‌های گوناگون اسکارن

مجموعه کانی‌های مرحله پسروند (سرپانتین، تالک و بروسیت) قطع شده است.

گاهی در مرزهای مرمر با اسکارن دیده می‌شود (شکل ۴ ب). این پهنه لبه‌ای بیشتر شامل مجموعه کانی‌های پیشروند (فورستریت و کلینوپیروکسن) است که توسط رگه‌هایی از



شکل ۳ روابط همبrijی کانی‌ها در اسکارن سرانجیک قروه.

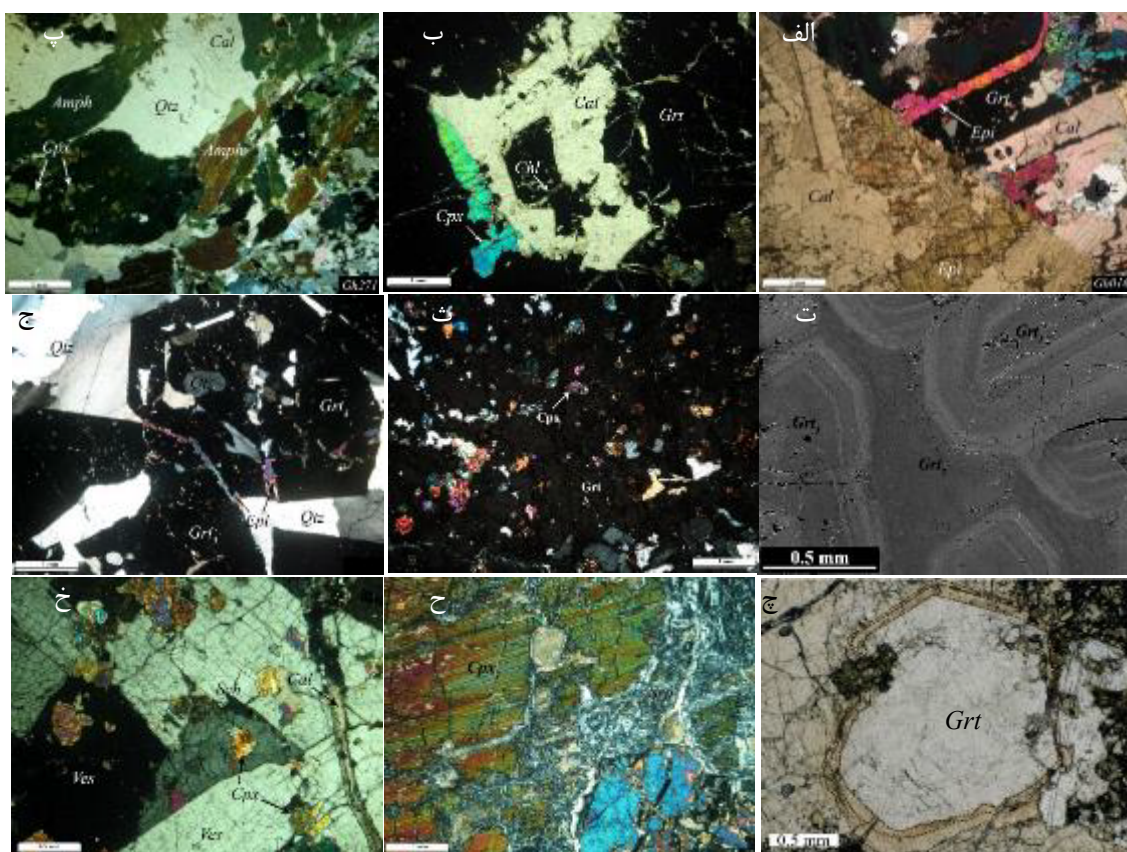


شکل ۴ الف: جایگاه پهنه‌های گوناگون اسکارن سرانجیک قروه نسبت به توده نفوذی و جبهه مرمری. علامت اختصاری: Fo = فورستریت، Cpx = کلینوپیروکسن، Qtz = گارنت، Ves = وزوویانیت، Grt = کوارتز (ب) تغییرات ترکیبی گارنت در دو پهنه کوارتز-گارنت و گارنت-وزوویانیت-کلینوپیروکسن. اعداد نشان‌دهنده بیشینه مقدار سازای نیمه‌کلسیمی در گارنت در نقاط گوناگون است. توجه شود که افزایش منظم بیشینه مقدار نیمه‌کلسیمی به سمت محل تماس توده گرانیتی دیده می‌شود.

هدنبرژیت است. بافت آن‌ها دانه‌ای و موزائیکی است. بر اساس شواهد سنگنگاری، کانی‌زایی شیلیت در ارتباط با کانی‌های بی‌آب در مرحله پیشرونده انجام شده است.^(۳) مرحله دگرسانی مخرب پیشرونده که در این مرحله در اثر برهم‌کنش گرماب با مجموعه‌های کلسیمی-سیلیکاتی مرحله پیشرونده، حجم زیادی از فازهای سیلیکاتی (کوارتز)، کلسیمی-سیلیکاتی آبدار (اپیدوت و آمفیبول) همراه با مقادیر بسیار کمی از سولفیدها (پیروتیت، پیریت و کالکوپیریت) پدید آمده‌اند. در اثر این دگرسانی، کانی‌های مرحله پیشرونده جانشین کانی‌های مرحله پیشرونده شده و به صورت بافت جانشینی دیده می‌شود. از جمله این جانشینی‌ها می‌توان به تبدیل گارنت به اپیدوت، کلسیت و کوارتز (شکل ۵ الف) و نیز جانشینی کلینوپیروکسن با آمفیبول (اکتینولیت-ترمولیت) (شکل ۵ ب) و در مراحل پیشرفت‌تر توسط کلریت، کربنات و اکسید آهن اشاره نمود.

سنگنگاری اسکارن‌ها

براساس بررسی‌های کانی‌شناسی و روابط همبrijی، دست کم ۳ مرحله اصلی در پیدایش اسکارن سرانجیک قروه تشخیص داده شد عبارتند از: ۱) مرحله دگرگونی هم‌شیمی که این مرحله همزمان با جایگزینی توده نفوذی در سنگ‌های کربناتی تریاس-ژوراسیک آغاز شده است. در این مرحله جریان گرمایی ناشی از توده سبب دگرگونی ایزوشیمیایی سنگ‌های پیرامون و تبدیل آن‌ها به مرمر و هورنفلس شده است. وجود ناخالصی‌های رس و سیلیس در سنگ‌های کربناتی اولیه منجر به تشکیل سیلیکات‌های کلسیمی از جمله دیوپسید و اپیدوت در شرایط ایزوشیمیایی شده است. ۲) مرحله دگرسانی دگرنهادی پیشرونده که شواهد این مرحله از دگرسانی دگرنهادی پیدایش کانی‌های کلسیمی-سیلیکاتی بی‌آب مانند گارنت غنی از گروسولر، گارنت نیمه‌کلسیمیو کلینوپیروکسن نوع دیوپسید-



شکل ۵ (الف) جانشینی گارنت توسط اپیدوت، کلسیت و کوارتز در مرحله دگرنهادی پیشرونده؛ (ب) جانشینی کلینوپیروکسن توسط کلریت، کلسیت و اکسید آهن در مرحله دگرنهادی پیشرونده، (پ) جانشینی کلینوپیروکسن توسط آمفیبول در مرحله دگرنهادی پیشرونده، (ت) گارنت خودشکل نوع I با بافت دانه‌ای و گارنت بی‌شکل نوع II با بافت توده‌ای به صورت پرکننده فضای بین گارنت‌های نوع I؛ (ث) وجود میانبارهای کلینوپیروکسن در گارنتهای نوع II؛ (ج) گارنهای کاملاً خودشکل نوع III در زمینه کوارتز، (چ) شکلهای نامنظم لبه‌های گارنت نوع III و نمایش سیماهای متاثر از فشار بالای فاز سیال در مرحله پیشرونده تأخیری؛ (ح) بلورهای کاملاً درشت و خودشکل کلینوپیروکسن در پهنه فورستریت-کلینوپیروکسن و جانشینی آن توسط سرپانتین در مرحله دگرنهادی پیشرونده و (خ) وجود میانبارهای کلینوپیروکسن‌های نوع II در وزوویانیت.

اسکارن و وزوویانیت-کلینوپیروکسن اسکارن دیده می‌شود. با نزدیک شدن به توده نفوذی، کلینوپیروکسن کاهش می‌باید و اغلب کلینوپیروکسن نوع I در درون گارنت نوع II محبوس می‌شود. کلینوپیروکسن نوع II به صورت بلورهای نیمه شکل-دار تا بی‌شکل و کوچکتر از کلینوپیروکسن نوع I (با اندازه ۰/۴-۱/۵ میلیمتر) است و مقدار آن در پهنه‌های وزوویانیت-کلینوپیروکسن بیشتر و در پهنه گارنت-وزوویانیت-کلینوپیروکسن کمتر است. کلینوپیروکسن نوع II به صورت مشخص در ارتباط با گارنت نوع II، شیلیت و وزوویانیت است (شکل ۵ خ).

زمین‌شیمی گارنت و کلینوپیروکسن

گارنت: نتایج EPMA گارنت در ناحیه‌های گوناگون اسکارن سرانجیک قروه سه گروه کاملاً متمایز از بلورهای گارنت را نشان می‌دهد (جدول ۱). تغییرات ترکیبی آن‌ها در نمودار سه تایی گروسولر-آندرادیت و پیرالسپیت (مجموع آلماندین، اسپسارتین و پیروپ) همراه با دیگر اسکارن‌های شیلیت‌دار با شرایط اکسایش مختلف رسم شده است (شکل‌های ۶ الف و ب) [۲۸-۲۲]. به طور کلی ترکیب گارنت‌های اسکارن سرانجیک قروه در پهنه‌های مختلف یکسان نیست. مقدار Al گارنت متغیر و مقدار Ca بالاست. گارنت‌هایی با هسته‌های غنی از Al-Ca و لبه‌های غنی از Fe فراوان هستند، اما گارنت‌های یکنواخت و گارنت‌هایی با لبه‌های غنی از Al نیز در برخی موارد دیده می‌شود (جدول ۱). در بیشتر سیستم‌های اسکارنی، گارنت‌های آلومینی دار غنی از Fe^{+2} و Mn^{+2} در اسکارن تنگستن دار دیده می‌شود [۲۹]. به طور کلی، گارنت‌های اسکارن سرانجیک قروه فقیر از Fe^{+3} و غنی از Al هستند. کسر مولی پیروپ نیز بسیار پایین و اغلب کمتر از ۰/۵ است.

گارنت نوع I اولیه در گستره ترکیبی گروسولر-آندرادیت با ترکیبی از $\text{Grs}_{45}\text{And}_{40}\text{Ta}_{25}$ با مقدار پیرالسپیت کمتر از ۱۰ درصد مولی مشخص می‌شود. گارنت نوع II (پیشرونده تأخیری) به نسبت یکنواخت و دارای ترکیبی از $\text{Grs}_{45}\text{And}_{20}\text{Pyr}_{35}$ است و مقدار پیرالسپیت آن بین ۱۰ تا ۲۵ درصد مولی است. گارنت نوع III واپسته به گستره ترکیبی نیمه‌کلسیمی (Grs-Pyr) با ترکیبی از $\text{Grs}_{60}\text{Pyr}_{40}$ است که همراه با مقادیر قابل

مشاهدات زمینی گارنت‌ها و کلینوپیروکسن‌ها

گارنت: گارنت فراوان‌ترین کانی در اسکارن سرانجیک قروه است (۳٪ تا ۷۰٪)، ولی با نزدیک شدن به توده نفوذی بر مقدار گارنت‌های شکل‌دار افزوده می‌شود. گارنت‌ها به صورت رگه‌ای و یا انبانه‌هایی در مرمر و اسکارن همراه با رگه‌های کوارتز دیده می‌شوند. در بخش‌های نزدیک توده، نسبت گارنت به کلینوپیروکسن به مرتب بیشتر است. اغلب گارنت‌های بهشت تجزیه شده در مرحله پسروند پیوست به صورت شبه‌ریخت تبدیل می‌شوند. در برخی موارد، اپیدوت به صورت شبه‌ریخت در لبه گارنت‌ها جایگزین می‌شود. با توجه به روابط بافتی در این منطقه دست کم سه نوع گارنت تشخیص داده می‌شود. گارنت نوع I (پیشرونده اولیه) به رنگ قرمز قهوه‌ای-قرمز تیره و بیشتر بی‌شکل و گاهی به صورت بلورهای درشت شکل‌دار تا نیمه شکل‌دار است. در برخی موارد، همراه با کوارتز بافت دانه‌ای را تشکیل می‌دهد. برخی از بلورهای شکل‌دار گارنت نوع I هسته‌های ناهمسانگرد شکل‌دار با لبه مشخص هستند که با رورشی گارنت با درصد مولی بالاتری از آندرادیت دنبال می‌شوند (شکل ۵ پ). گارنت نوع II در نمونه دستی رنگ قرمز روشن و فراوانی کمتری نسبت به گارنت نوع I دارد. گارنت نوع II به صورت بلورهای بی‌شکل و یا به صورت رورشی بر گارنت‌های پیشین یا در فضای بین گارنت‌های نوع I تشکیل می‌شود (شکل ۵ ت) و گاهی شامل میانه‌های کلینوپیروکسن و وزوویانیت (شکل ۵ ث) است. گارنت‌های نوع III به صورت بلورهای درشت دانه به رنگ قرمز روشن-نارنجی به صورت پراکنده و همراه با رگه‌های کوارتزی در نزدیکی توده نفوذی قرار دارند (شکل ۵ ج). لبه برخی از گارنت‌ها شکل نامنظمی دارد که به دلیل شوک ناشی از فشار سیال بالا تفسیر می‌شود (شکل ۵ ج) [۱۲، ۸، ۲].

پیروکسن: بر اساس مجموعه‌های کانیایی و روابط بین آن‌ها، دو نوع کلینوپیروکسن در پهنه‌های گوناگون اسکارنی شناسایی شد. کلینوپیروکسن نوع I حدود ۲/۵ تا ۱/۵ میلی‌متر، به صورت بلورهای منشوری کوتاه نیمه شکل‌دار تا شکل‌دار است. در مرمرها و رگه‌های کلسیتی اندازه بلورهای کلینوپیروکسن بیشتر است و گاهی به ۴ میلی‌متر می‌رسد (شکل ۵ ح). این نوع کلینوپیروکسن بیشتر در پهنه فورستریت-کلینوپیروکسن

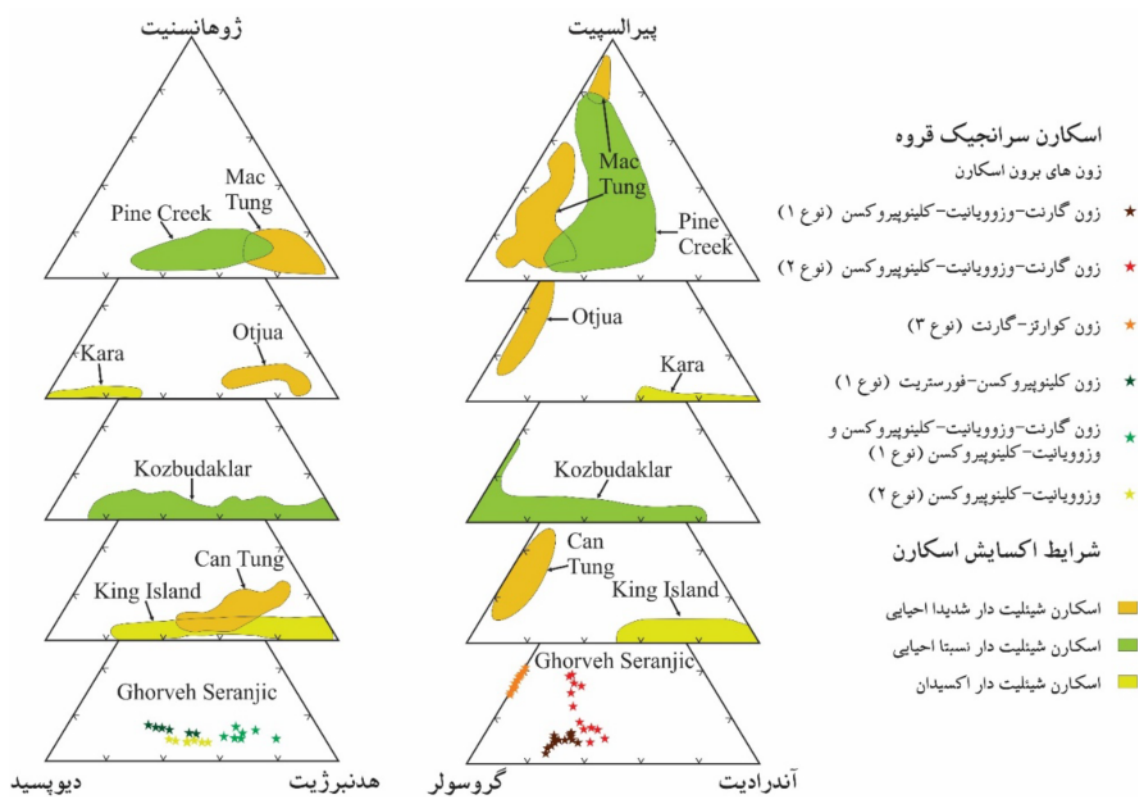
طور پیوسته درون این رگه‌ها تغییر می‌کند و با دور شدن از توده نفوذی به سمت جبهه مرمری، مقدار آندرادیت و نیز نسبت اسپسارتین به آلماندین افزایش می‌یابد (شکل ۲ ب).

توجهی از آلماندین و اسپسارتین (پیرالسپیت) مشخص می‌شود. در گارنت نوع III، درصد مولی آندرادیت صفر است. این مجموعه از گارنت‌ها اغلب به صورت گارنت‌های رگه‌ای قطع کننده گارنت‌های نوع I و II دیده می‌شوند. ترکیب گارنت به-

جدول ۱ نتایج تجزیه ریزپردازشی گارنت‌های اسکارن سرانجیک. محاسبه فرمول ساختاری آن‌ها بر اساس ۱۲ اتم اکسیژن.

منطقه	اسکارن گارنت- وزووبیانیت- کلینوپیروکسن												اسکارن کوارنز- گارنت							
	Gh-190	Gh-190	Gh-190	Gh-88	Gh-88	Gh-88	Gh-14	Gh-14	Gh-64	Gh-64	Gh-04	Gh-04	Gh-24	Gh-24	Gh-10	Gh-51	Gh-51	Gh-48	Gh-45	
S. N.	1b	1d	1g	1a	1d	1g	2d	2f	1a	1c	1a	1d	1a	1b	2c	1a	1d	1a	1e	
A. N.	I	I	I	I	I	I	II	II	I	I	III	III	III	III	III	III	III	III	III	
نوع	درصد وزنی																			
SiO ₂	37.55	36.61	37.03	38.05	37.97	37.96	37.85	37.70	37.57	37.54	37.95	37.5	37.75	37.51	37.16	37.25	37.85	37.91	37.51	
TiO ₂	0.37	0.35	0.19	0.18	0.21	0.33	0.12	0.10	0.02	0.05	0.05	0.0	0.1	0.03	0.01	0.02	0.01	0.02	0.04	
Al ₂ O ₃	15.98	15.34	14.92	16.12	15.24	15.29	15.81	16.16	17.15	18.28	25.9	23.9	24.6	26.2	26.1	27.2	27.2	27.2	27.2	
Cr ₂ O ₃	0.1	0.8	0.0	0.2	0.2	0.0	0.6	0.0	0.0	0.0	0.0	0.0	0.1	0.03	0.1	0.03	0.0	0.0	0.17	
FeO*	1.015	1.08	1.21	0.84	1.195	1.14	1.22	1.519	1.287	1.13	1.125	1.287	1.13	1.12	1.29	1.21	1.23	1.21	1.24	
MnO	3.1	3.6	4.2	2.6	3.2	3.5	6.1	6.5	1.6	1.71	4.5	1.6	0.8	1.1	0.97	1.2	1.05	1.02	1.1	
MgO	0.5	0.4	0.4	0.3	0.5	0.7	0.0	0.5	0.0	0.4	0.13	0.6	0.8	0.09	0.7	0.08	0.6	0.07	0.17	
CaO	31.6	32.7	29.4	32.5	32.0	32.8	37.4	37.9	30.8	30.94	32.9	2.6	22.1	21.67	21.83	21.9	22.0	22.4	22.8	
مجموع	99.51	99.73	97.5	99.17	97.95	97.80	100.5	100.57	99.82	99.99	99.81	99.85	99.81	99.70	99.72	99.72	99.73	99.72	99.73	
کاتیون‌ها بر پایه ۱۲ اتم اکسیژن																				
Si	29.4	29.5	29.6	3.1	3.0	3.2	2.6	2.7	2.5	2.6	2.99	3.03	3.1	3.2	3.0	3.1	3.0	3.1	3.06	
Ti	0.2	0.2	0.1	0.1	0.0	0.2	0.1	0.1	0.0	0.0	0.0	0.0	0.0	0.0	0.0	0.0	0.0	0.0	0.0	
Al	11.7	11.2	11.0	11.8	11.5	11.7	11.5	11.6	11.1	11.5	11.6	11.6	11.7	11.7	11.9	11.6	11.8	11.4	11.6	
Cr	0.0	0.0	0.0	0.0	0.0	0.0	0.0	0.0	0.0	0.0	0.0	0.0	0.0	0.0	0.0	0.0	0.0	0.0	0.0	
Fe ³⁺	0.6	0.6	0.5	0.51	0.75	0.81	0.49	0.46	0.28	0.44	0.0	0.0	0.0	0.0	0.0	0.0	0.0	0.0	0.0	
Fe ²⁺	0.10	0.09	0.18	0.07	0.05	0.07	0.01	0.01	0.04	0.03	0.12	0.09	0.06	0.04	0.03	0.05	0.05	0.04	0.00	
Mn	0.24	0.24	0.30	0.19	0.18	0.25	0.22	0.24	0.11	0.11	0.03	0.07	0.05	0.07	0.06	0.07	0.07	0.09	0.09	
Mg	0.1	0.0	0.0	0.0	0.1	0.1	0.1	0.2	0.0	0.1	0.1	0.1	0.1	0.1	0.1	0.1	0.1	0.1	0.2	
Ca	2.7	2.9	2.5	2.2	2.5	2.8	2.2	2.2	2.2	2.6	1.7	1.7	1.81	1.78	1.79	1.82	1.82	1.82	1.70	
مجموع	8.02	8.02	8.02	7.99	8.00	7.97	8.01	8.01	8.09	8.09	7.81	7.81	7.81	7.81	7.81	7.81	7.81	7.81	7.81	
Grs	6.05	5.89	5.74	5.68	5.91	5.80	5.7	5.63	5.92	5.84	7.94	8.79	6.14	6.66	6.55	6.83	6.60	6.07	6.07	
And	28.55	31.04	31.8	25.7	31.7	41.11	29.5	33.2	19.5	33.6	0.0	0.0	0.0	0.0	0.0	0.0	0.0	0.0	0.0	
Pyr	0.0	0.0	0.0	0.0	0.0	0.0	0.0	0.0	0.0	0.0	0.0	0.0	0.0	0.0	0.0	0.0	0.0	0.0	0.0	
Alm	1.8	1.1	2.8	2.2	1.7	2.2	0.3	1.82	1.79	2.2	2.28	2.30	2.18	1.12	3.09	3.01	3.02	3.02	3.01	
Sps	8.08	7.6	10.3	8.3	6.17	8.59	10.31	14.14	3.75	3.70	11.0	2.56	19.0	2.22	2.22	2.21	2.29	2.28	3.08	

تذکر: = مجموع کل آهن‌ها، Grs = گروسوول، And = آندرادیت، Pyr = پیروب، Alm = آلماندین، S.N. = اسپسارتین، S.Ps = اسپسارتین، A.N. = شماره نمونه، .N. = شماره نقطه تجزیه شده.



شکل ۶ نمودار سه‌تایی توزیع ترکیب تجزیه‌های نقطه‌ای کمی گارنت (الف) و کلینوپیروکسن (پ) در ناحیه سرانجیک قروه و مقایسه آن با اسکارن‌های تنگستن احیایی و اکسایشی جهان (ب و ت) [۲۲-۲۸].

متوسطی را بر اساس رده بندی ناکانو [۳۱، ۳۲] نشان می‌دهد و با دیگر نهشته‌های اسکارنی شیلیت‌دار همخوانی کامل دارد (شکل ۶ ت). از طرف دیگر، کلینوپیروکسن نوع II (تا خیری) ترکیب حدواسطی بین سالیت و فروسالیت $\text{Hd}_{36-48} \text{ Jo}_{7-12} \text{ Mn}_{0.0-0.2}$ با نسبت زوهانسنت نسبتاً بیشتری دارد. به علت افزایش Mn، نسبت Mn/Fe در گسترده وسیعی از ۰.۰۲ تا ۰.۳۲ تغییر می‌کند. غنی‌شدگی Mn در کلینوپیروکسن‌های نسل دوم فرایندی معمول در مرحله پیشرونده اسکارن‌های تنگستن دار است [۲۳].

شرایط فیزیکوشیمیایی تشکیل اسکارن پیشرونده
براساس بررسی‌های صورت گرفته در این ناحیه، اسکارن سرانجیک در عمق ۵ تا ۶ کیلومتری و فشار تقریباً ۱/۵ کیلوبار تشکیل شده است [۳۳]. مشاهدات صحرابی از قبیل عدم شکستگی‌های برشی و شکننده در ارتباط با کانی‌زایی، گسترش وسیع هورنفلس‌های آهکی‌سیلیکاتی و مرزهای نفوذی نیمه موادی با لایه‌بندی نیز تایید کننده محیط به نسبت عمیق است [۶]. حضور کانی‌های بی‌آب اولیه چون کلینوپیروکسن و گارنت در اسکارن‌های پیشرونده اولیه می‌تواند گسترده بالای

نسبت گارنت نیمه کلیسیمی (نوع II و III) به گارنت گراندیتی (نوع I) با دورشدن از توده نفوذی به سمت جبهه مرمری کاهش می‌یابد و این کاهش با کاهش بسیار کوارتز در پهنه‌های اسکارنی همراه است (شکل‌های ۲ الف و ب).

کلینوپیروکسن: تجزیه EPMA کلینوپیروکسن از پهنه‌های گوناگون اسکارن سرانجیک قروه دو گروه ترکیبی سالیتی و فروسالیتی را نشان می‌دهد (جدول ۲). به طور کلی، بلورهای کلینوپیروکسن اسکارن سرانجیک قروه منطقه‌بندی نداشته و تقریباً ترکیب یکسانی دارند، اما ترکیب کلینوپیروکسن‌ها در پهنه‌های گوناگون متفاوت است (شکل ۶ پ). در $\text{Fe}/\text{Fe}+\text{Mn}$ بسیار پایین و مقدار Na_2O و TiO_2 و Cr_2O_3 کم است. مقدار Na و Ti و Cr (جدول ۲) نشان‌دهنده خاستگاه دگرگونی است (شکل ۷). کلینوپیروکسن‌های نوع I (اولیه) با ترکیب فروسالیتی ($\text{Hd}_{58-75} \text{ Di}_{27-16} \text{ Jo}_{8-13}$) در پهنه درون اسکارن و با ترکیب سالیتی ($\text{Hd}_{27-40} \text{ Di}_{58-51} \text{ Jo}_{8-14}$) در پهنه فورستریت-کلینوپیروکسن اسکارن دیده می‌شود. نسبت Mn/Fe در این کلینوپیروکسن‌ها ۰.۰۹ تا ۰.۰۲ است که مقدار

است [۴۰]. با این وجود، دابسون [۴۱] پیشنهاد می‌کند که XCO_2 نسبتاً بالا ممکن است مانع تشکیل ولاستونیت شود و از طرفی، فراوانی فلوتوئر در فاز سیال مقدار وزوویانیت را افزایش داده و بهشت از نسبت کلینوپیروکسن کاسته و سبب شده است که وزوویانیت در XCO_2 بالاتری پایدار بماند. در چنین شرایطی، کمترین گستره دمایی در اسکارن پیشرونده مورد بررسی $400^{\circ}C$ تا $450^{\circ}C$ و XCO_2 حدود ۱۵٪ تا ۲۰٪ است. مرحله پسروندۀ با مجموعه کانی‌های اسکارنی آبدار از جمله اپیدوت، آمفیبول کلسیم‌دار و کلریت مشخص می‌شود که اپیدوت شامل ۳۰٪ درصد مولی پیستاسیت ($Fe^{+3}/Fe^{+3}+Al^{VI}$) است.

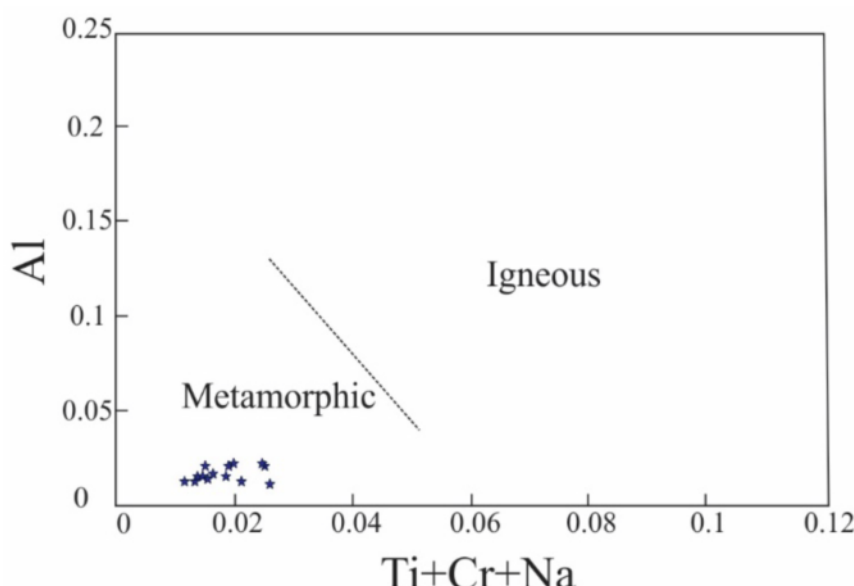
دما و XCO_2 را در زمان تشکیل اسکارن سرانجیک قروه مشخص کند [۳۴، ۳۵]. در بیشتر اسکارن‌های دنیا، XCO_2 از ۰٪ تا ۰.۵٪ متغیر است [۲۹]. در اسکارن سرانجیک قروه XCO_2 کمتر از ۱٪ است که بهدلیل نبود ولاستونیت در مجموعه کانی‌های اسکارنی آن است [۳۶].

مجموعه گارنت گروسولری با ترکیب Grs_{80-90} و همزیست با کلینوپیروکسن اولیه در نبود ولاستونیت نشان می‌دهد که اسکارن پیشرونده در دمای $530^{\circ}C$ تا $580^{\circ}C$ از سیال‌هایی با XCO_2 تقریباً ۰.۱٪ - ۰.۲٪ تشکیل شده است (شکل ۸) [۳۷]. نبود ولاستونیت و حضور وزوویانیت در مجموعه‌های کانی‌ای نشان دهنده مقدار XCO_2 در حدود ۰.۱٪ و یا کمتر

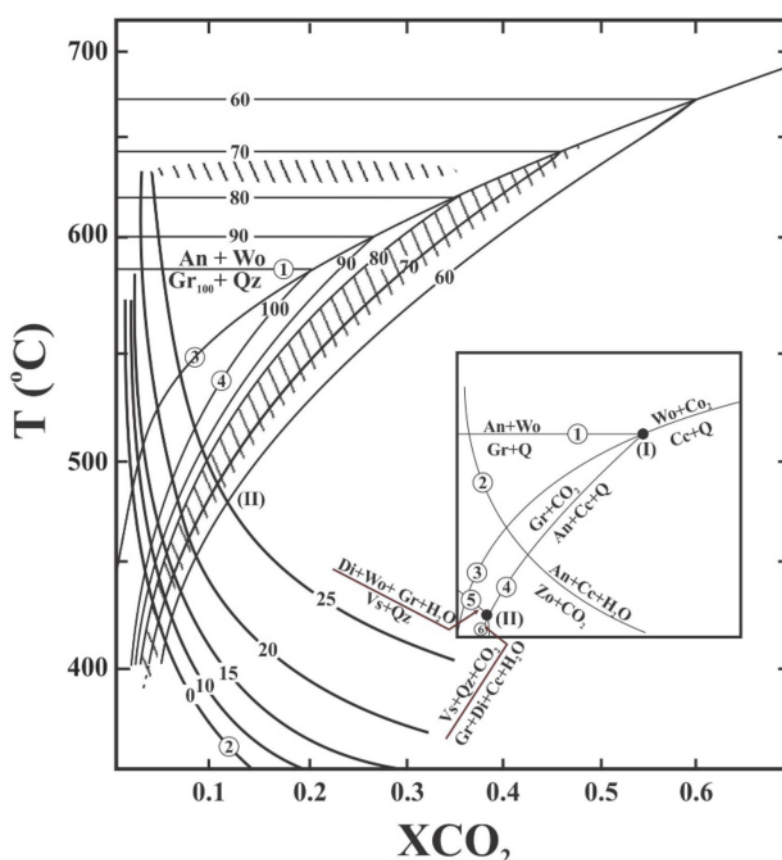
جدول ۲ نتایج تجزیه ریزپردازشی کلینوپیروکسن‌های اسکارن سرانجیک. محاسبه فرمول ساختاری آن‌ها بر اساس ۶ اتم اکسیژن.

منطقه	اسکارن گارنت-وزوویانیت-کلینوپیروکسن								اسکارن گارنت-وزوویانیت-کلینوپیروکسن						درون اسکارن	
	S. N.	Gh271	Gh271	Gh148	Gh148	Gh08	Gh08	Gh244	Gh244	Gh190	Gh190	Gh04	Gh04	Gh14	Gh14	Gh63
A. N.	1a	1b	1a	1c	2b	2c	1a	1b	1a	1b	1a	1c	1a	1b	1a	1c
نوع	I	I	I	I	I	I	I	I	II	II	II	II	II	II	I	I
<i>Weight percentage</i>																
SiO_2	۴۸۷۵	۴۸۵۹	۴۹.۵	۴۹.۲	۵۱۳۴	۵۱.۶	۵۱.۰۸	۵۱۶۱	۴۹۹۸	۵۱۵۶	۵۰۵۳	۵۰.۵۸	۵۱۵۲	۵۱۶۰	۴۸۹۸	۴۹۲۰
TiO_2	.۰۴	.۰۰	.۰۰	.۰۵	.۰۰	.۰۰	.۰۴	.۰۰	.۰۰	.۰۰	.۰۲	.۰۱	.۰۰	.۰۰	.۰۰	.۰۰
Al_2O_3	.۴۴	.۴۶	.۴۴	.۴۷	.۲۸	.۳۴	.۳۷	.۳۴	.۵۱	.۴۹	.۰۷	.۰۳	.۳۱	.۰۷	.۰۴۲	.۰۳۱
Cr_2O_3	.۱	.۰۲	.۰۰	.۰۰	.۰۰	.۰۰	.۰۰	.۰۰	.۰۰	.۰۰	.۰۴	.۰۰	.۰۰	.۰۰	.۰۰	.۰۰
FeO^*	۲۰.۳۳	۲۰.۳۴	۲۰.۲۲	۲۰.۵۷	۱۱.۰۱	۱۰.۹۷	۱۴.۹۶	۱۲.۶۳	۱۳.۶۶	۱۴.۰۱	۱۲.۹۵	۱۲.۹۵	۱۱.۷۶	۱۱.۱۹	۲۲.۳۳	۲۲.۷۷
MnO	۳۱۲	۲۶۶	۲۷۸	۲۷۷	.۹۷	.۸۹	.۶۹	۲۶۹	۲۳۷	۲۲۲	۲۰.۹	۲۲۳	۲۲۰	۲۱۱	۱۴۳	.۹۰
MgO	۴۵۶	۴۵۶	۴۵۹	۴۷۴	۱۰.۶۷	۱۰.۱۸	۷۷۳	۹۲۴	۸۵۴	۸۱۷	۹۰۱	۹۲۱	۹۸۴	۱۰.۴۳	۳۰۰	۳۱۶
CaO	۲۲۲۴	۲۲۱۰	۲۲.۶	۲۱.۹۲	۲۴۶۳	۲۶۲۱	۲۲۸	۲۲۶۹	۲۳۷۵	۲۳۳۰	۲۲۶۱	۲۲۷۵	۲۴۱۰	۲۴۶۱	۲۳۷۸	۲۲۸۸
Na_2O	.۱۷	.۳۱	.۰۴	.۰۳	.۰۵	.۰۴	.۰۱۷	.۰۱۹	.۰۲۴	.۰۳	.۰۲۷	.۰۱۹	.۰۰	.۰۳	.۰۷	.۰۳۰
K_2O	.۰۰	.۰۱	.۰۱	.۰۰	.۰۲	.۰۰	.۰۰	.۰۰	.۰۰	.۰۱	.۰۰	.۰۱	.۰۱	.۰۱۳	.۰۰	.۰۰
مجموع	۹۹۹۵	۹۹۴۹	۹۹۷۱	۹۹۵۸	۹۹۷۲	۹۸۰۱	۹۹۹۷	۱۰۰۳۲	۹۹۰۵	۱۰۰۰۸	۹۹۰۰	۹۹۴۴	۹۹۸۶	۱۰۰۳۶	۱۰۰۸۴	۱۰۰۱۱
تندلیز ہارسلن ۶ اتم اکسیژن و مطبوعه هنجری غخوشهای بلنوسیوکسن																
Si	۱.۹۵	۱.۹۵	۱.۹۶	۱.۹۶	۱.۹۷	۱.۹۸	۱.۹۹	۱.۹۸	۱.۹۶	۲.۰۰	۱.۹۷	۱.۹۷	۱.۹۸	۱.۹۷	۱.۹۷	۱.۹۷
Ti	.۰۰	.۰۰	.۰۰	.۰۰	.۰۰	.۰۰	.۰۰	.۰۰	.۰۰	.۰۰	.۰۰	.۰۰	.۰۰	.۰۰	.۰۰	.۰۰
Al	.۰۲	.۰۲	.۰۲	.۰۲	.۰۱	.۰۲	.۰۲	.۰۲	.۰۲	.۰۲	.۰۲	.۰۱	.۰۱	.۰۱	.۰۲	.۰۱
Cr	.۰۰	.۰۰	.۰۰	.۰۰	.۰۰	.۰۰	.۰۰	.۰۰	.۰۰	.۰۰	.۰۰	.۰۰	.۰۰	.۰۰	.۰۰	.۰۰
Fe^{3+}	.۰۹	.۱۰	.۰۷	.۰۶	.۰۶	.۰۴	.۰۱	.۰۴	.۰۱۰	.۰۰۲	.۰۰۷	.۰۰۹	.۰۰۴	.۰۰۷	.۰۰۸	.۰۰۸
Fe^{2+}	.۰۹	.۰۸	.۰۶	.۰۶	.۰۲۹	.۰۳۲	.۰۴۷	.۰۳۷	.۰۳۵	.۰۳۳	.۰۳۵	.۰۳۳	.۰۲۸	.۰۷۰	.۰۶۹	.۰۶۹
Mn	.۱۱	.۰۹	.۰۹	.۰۸	.۰۳	.۰۳	.۰۹	.۰۸	.۰۷	.۰۷	.۰۸	.۰۷	.۰۷	.۰۷	.۰۵	.۰۳
Mg	.۷۷	.۲۸	.۰۷	.۰۲۸	.۰۶	.۰۵۹	.۰۴۵	.۰۵۳	.۰۵	.۰۴۷	.۰۵۳	.۰۵۴	.۰۵۷	.۰۶۰	.۰۱۸	.۰۲۲
Ca	.۹۵	.۹۵	.۹۵	.۹۴	۱.۰۱	۱.۱۰	.۹۵	.۹۷	۱.۰۰	.۹۷	.۹۹	.۹۹	.۹۹	.۱۰۱	.۱۰۰	.۹۸
Na	.۰۱	.۰۲	.۰۲	.۰۲	.۰۱	.۰۲	.۰۱	.۰۱	.۰۲	.۰۳	.۰۲	.۰۱	.۰۱	.۰۰	.۰۲	.۰۰۲
K	.۰۰	.۰۰	.۰۰	.۰۰	.۰۰	.۰۰	.۰۰	.۰۰	.۰۰	.۰۰	.۰۰	.۰۰	.۰۰	.۰۱	.۰۰	.۰۰
مجموع	۴.۰۰	۴.۰۰	۴.۰۰	۴.۰۰	۴.۰۰	۴.۰۰	۴.۰۰	۴.۰۰	۴.۰۰	۴.۰۱	۴.۰۲	۴.۰۳	۴.۰۱	۴.۰۲	۴.۰۰	۴.۰۰
Fe^{+2}/Mg	.۰۹	.۶۸	.۶۹	.۶۹	.۳۲	.۳۵	.۰۵۱	.۰۴۱	.۰۴۱	.۰۴۸	.۰۴۰	.۰۳۸	.۰۳۷	.۰۷۹	.۰۷۵	.۰۷۵
Mn/Fe	.۰۱۸	.۰۱۶	.۰۱۵	.۰۱۳	.۰۱۱	.۰۰۹	.۰۱۹	.۰۲۴	.۰۲۳	.۰۱۶	.۰۲۰	.۰۲۴	.۰۲۱	.۰۲۵	.۰۰۷	.۰۰۴
Di	۲۷۱۸	۲۸۰۲	۲۷۲۱	۲۷۸۷	۵۷۹۹	۵۵۹۱	۴۳۶۷	۵۱۵۱	۴۴۹۴	۴۳۶۷	۴۷۶۵	۴۷۶۵	۴۸۰۲	۵۱۱۲	۵۷۳۵	۱۶۴۱
Hd	۵۹۳۸	۵۸۳۴	۶.۶۸	۶۱۴۱	۲۷۶۷	۳۰۴۰	۴۵۸۴	۹۳۱۲	۴۷.۰۶	۴۸۶۵	۴۴۴۶	۴۴۸۰	۴۰۷۲	۳۸۰۲	۷۵۰۲	۶۸۹۸
Jo	۱۳۴۵	۱۲۶۳	۱۲۱۱	۱۰۷۵	۱۴۳۴	۱۳۷۰	۱۰۷۰	۱۲۳۷	۸۰۰	۷۶۷	۷۸۱۹	۷۱۸	۸۱۶	۸۶۴	۸۶۷	۱۲۴۶

* = مجموع کل آهن‌ها، $Di=Diopyroxite$ ، $Hd=Hedenbergite$ ، $S.N.=Scholeite$ ، $A.N.=Anorthite$ ، $=$ شماره نمونه.

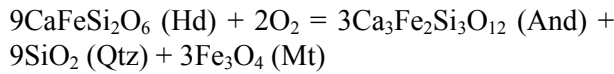


شکل ۷ نمودار Al نسبت به (Ti+Cr+Na) که نشان‌دهنده خاستگاه دگرگونی بلورهای کلینوپیروکسن اسکارن سرانجیک قروه است [۳۰].



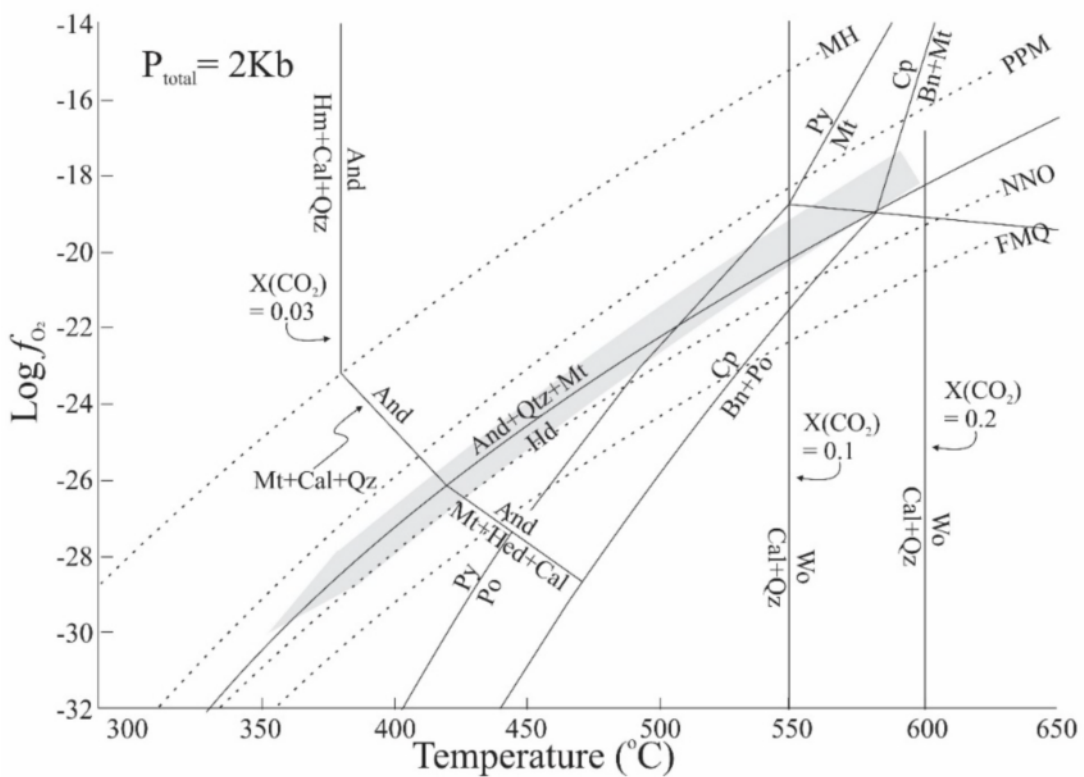
شکل ۸ نمودار T-XCO₂ در فشار ۲ کیلوبار که نشان‌دهنده محیط کلی دگرگونی اسکارن در مرحله دگرنهادی پیشرونده در تاحیه سرانجیک قروه است. اعداد روی واکنش (۲) نشان‌دهنده درصد مولی پیستازیت در اپیدوت است، در حالی که اعداد در واکنش‌های (۱) و (۴) نشان‌دهنده درصد مولی گروسولر در گارنت گراندیتی است [۳۶-۳۷]. بخش هاشور زده نشان‌دهنده مراحل دگرگونی اسکارن سرانجیک است. (علایم اختصاری: An=آنورتیت؛ Cc=کلسیت؛ Gr=گروسولر؛ Q=کوارتز؛ Wo=Wو لاستونیت؛ Di=زوئیزیت؛ Vs=دیوپسید؛ Zr=وزوویانیت).

گستردگی گارنت‌های گروسولری- نیمه‌کلسیمی به همراه کلینوپیروکسن در مجموعه اسکارن پیشرونده با واکنش زیر مشخص می‌شود [۴۳]:



این واکنش حد بالای گریزندگی اکسیژن را برای مجموعه اسکارن پیشرونده نشان می‌دهد (شکل ۹) [۴۴-۴۷]. حضور گارنت گراندیتی با مقادیر زیادی از آلماندین می‌تواند در راستای بافر نیکل- اکسید نیکل یا زیر آن تشکیل شده باشد [۴۷]. افزون بر آن، نبود گرافیت در مجموعه اسکارن سرانجیک قروه گستره کمتری از گریزندگی اکسیژن را فراهم می‌کند. نمودار شکل ۹ نشان می‌دهد که اسکارن‌های پیشرونده در دماهای ۵۷۰ تا ۴۵۰ درجه سانتیگراد و گریزندگی اکسیژن ۱۸- تا ۳۰- تشکیل شده است.

مجموعه گارنت گراندیتی- نیمه‌کلسیمی به همراه کلینوپیروکسن سالیتی- فروساالتی می‌تواند شرایط گریزندگی اکسیژن را در زمان تشکیل اسکارن پیشرونده تعیین کند. درصد مولی آلماندین گارنت‌های گراندیتی با افزایش جانشینی در توسط Fe^{+3} افزایش می‌یابد [۷]. افزایش نسبت آلماندین به اسپسارتین به سمت توده نفوذی می‌تواند سبب افزایشی در فعالیت Fe^{+2} و کاهش گریزندگی اکسیژن طی دگرگونی اسکارن شود. این گریزندگی اکسیژن به نسبت پایین برای جانشینی Fe^{+2} و Mn در گارنت‌های گروسولری مربوط به نهشتلهای شیلیت‌دار است [۴۲]. مقادیر ناچیز مگنتیت به همراه گارنت گراندیتی و کلینوپیروکسن سالیتی و نسبت بالای پیروتیت به پیریت شرایط گریزندگی اکسیژن پایین‌تری از بافر پیروتیت- پیریت- مگنتیت را نشان می‌دهد. از طرفی، حضور



شکل ۹ نمودار دما و گریزندگی اکسیژن در فشار ۲ کیلوبار که نشان‌دهنده محیط تشکیل اسکارن سرانجیک پیشرونده (ناحیه خاکستری) است (برگرفته از مرجع [۴۴] با تغییرات و واکنش‌ها از مراجع [۴۵-۴۷] هستند) علایم اختصاری: MH=بافر مگنتیت- هماتیت؛ PPM=بافر پیریت- پیروتیت- مگنتیت؛ NNO=بافر نیکل- اکسید نیکل؛ FMQ=بافر فایالیت- مگنتیت- کوارتز؛ PY=پیریت؛ PO=پیروتیت؛ Mt=مگنتیت؛ Cp=مگنتیت؛ Wo=کوارتز؛ Cal=کلسیت؛ QZ=بورنیت؛ Bn=بورنیت؛ And=آندرادیت؛ Hm=هماتیت؛ Wo=لاستونیت؛ Wo=کالکوپیریت.

شرایط نسبتاً اکسایشی تا نسبتاً کاهشی و گریزندگی اکسیژن معادل با ۱۸- تا ۳۰- است.

قدردانی

نویسنده‌گان از صندوق حمایت از پژوهشگران و فناوران کشور به خاطر حمایت مالی در انجام طرح پژوهشی به شماره ۹۱۰۵۸۰۵۲ تشكر و قدردانی می‌نمایند.

مراجع

- [1] Cepedal A., Martin-Izard A., Reguilón R., Rodriguez-Pevida L., Spiering, E., González-Nistal S., "Origin and evolution of the calcic and magnesian skarns hosting the El Valle-Boinás copper-gold deposit, Asturias (Spain)", Journal of Geochemical Exploration 71 (2000) 119–151.
- [2] Ciobanu C.L., Cook N.J., "Skarn textures and a case study: the Ocna de Fier-Dogenecea orefield, Banat, Romania", Ore Geology Review 24 (2004) 315–370.
- [3] Grammatikopoulos T.A., Clark A.H., "A comparative study of wollastonite skarn genesis in the Central Metasedimentary Belt, southeastern Ontario, Canada", Ore Geology Review 29 (2006) 146–161.
- [4] Meinert L.D., "Compositional variation of igneous rocks associated with skarn deposits-chemical evidence for a genetic connection between petrogenesis and mineralization", Mineralogical Association of Canada, Short Course Series (1995) 23pp. 401–418.
- [5] Lehrmann B., Oliver N.H., Rubenach M.J., Georges C., "The association between skarn mineralisation and granite bodies in the Chillagoe region, North Queensland, Australia", Journal of Geochemical Exploration 101 (2009) 58.
- [6] Meinert L.D., Dipple G.M., Nicolescu S., "World skarn deposits", Society of Economic Geologists, Economic Geology 100th Anniversary (2005) 299–336.
- [7] Einaudi M.T., Burt D.M., "Introduction-terminology, classification, and composition of skarn deposits", Economic Geology 77 (1982) 745–754.
- [8] Gaspar M., Knaack C., Meinert L.D., Moretti R., "REE in skarn systems: a LA-ICP-MS study of garnets from the Crown Jewel gold deposit", Geochimica et Cosmochimica Acta 72 (2008) 185–205.
- [9] Gao Y.B., Li W.Y., Qian B., Li D.S., He S.Y., Zhang Z.W., Zhang J.W., "Geochronology, geochemistry and Hf isotopic compositions of the

برداشت

نفوذ توده گراینیتوئیدی سرانجیک قروه به سن ژوراسیک پسین به درون سنگ‌های کربناتی، به سن تریاس- ژوراسیک، منجر به اسکارن‌زایی در منطقه شده است. بر اساس بررسی‌های کانی-شناسی، اسکارن سرانجیک قروه به صورت اسکارن کلسمی-منیزیمی است. اسکارن منیزیمی با گسترش بسیار محدود در پهنه حاشیه‌ای اسکارن با مجموعه کانی‌های فورستریت (بیشتر)، طلق، سرپانتین و بروسیت مشخص می‌شود. اسکارن کلسمی-منیزیمی با مجموعه کانی‌های گارنت، کلینوپیروکسن، وزوویانیت، آمفیبول و اپیدوت شامل دو پهنه درون اسکارن و برون اسکارن است. مجموعه کانی‌های برون اسکارن نشان‌دهنده دو مرحله پیشرونده و پسرونده است. مرحله پیشرونده با کانی‌های کلینوپیروکسن و گارنت مشخص می‌شود. شواهد بافتی و تجزیه شیمیایی کانی‌های گارنت و کلینوپیروکسن نشان‌دهنده وجود دو نوع کلینوپیروکسن و سه نوع گارنت است. با توجه به ویژگی‌های زمین‌شیمیایی کلینوپیروکسن، نخست کلینوپیروکسن‌های سالیتی در لبه‌های اسکارن به همراه فورستریت تشکیل می‌شود. سپس در گام بعدی با ورود Fe^{+2} به سیستم اسکارنی، فعالیت Fe^{+2} افزایش یافته که کاهش فعالیت Mg را در محیط به دنبال داشته است و سبب تشکیل کلینوپیروکسن فروساالتی شده است. این افزایش فعالیت Fe^{+2} متناسب با کاهش گریزندگی اکسیژن طی دگرگونی اسکارن است. ترکیب شیمیایی انواع گارنت‌های سرانجیک قروه نشان می‌دهد که ترکیب گارنت تابع ساده‌ای از فاصله نسبت به توده نفوذی نیست، اما دست کم می‌تواند بازتابی از مسیرهای جريان سیال باشد. از این‌رو، ترکیب گارنت‌ها در اسکارن سرانجیک قروه متناسب با زمان و نزدیکی به منبع سیال متغیر است. افزایش درصد مولی هدبزیت و ژوہانسنتیت و درنتیجه کاهش درصد مولی دیوبسید در کلینوپیروکسن و نیز افزایش درصد مولی آندرادیت و کاهش درصد مولی آلماندین + اسپسارتین در گارنت ارتباط مستقیمی با پهنه‌های شیلیت‌دار دارد، به طوری که پهنه‌های دربردارنده گارنت با درصد مولی بالایی از آلماندین (گارنت نوع III) فاقد هرگونه کانی شیلیت است. چنین ارتباطی در اسکارن مورد بررسی می‌تواند راهنمای اکتشافی برای پهنه‌های شامل شیلیت باشد.

ترکیب نسل‌های گوناگون کلینوپیروکسن و گارنت در اسکارن سرانجیک قروه نشان‌دهنده روند دگرگونی اسکارن پیشرونده از

- Iran: Evidence for Late Jurassic arc-continent collision", Lithos 216-217 (2015) 178-195.*
- [20] Azizi H., Asahara Y., "Juvenile granite in the Sanandaj-Sirjan zone, NW Iran: Late Jurassic-Early Cretaceous arc-continent collision", International Geology Review 55 (2013) 1523-1540.
- [21] Mahmoudi S., Corfu F., Masoudi F., Mehrabi B., Mohajjal M., "U-Pb dating and emplacement history of granitoid plutons in the northern Sanandaj-Sirjan Zone, Iran", Journal of Asian Earth Science 41 (2011) 238-249.
- [22] Dick L.A., Hodgson C.J., "The MacTung W-Cu(Zn) contact metasomatic and related deposits of the northeastern Canadian Cordillera", Economic Geology 77 (1982) 845-867.
- [23] Steven N.M., Moore J.M., "Pan-African tungsten skarn mineralization at the Otjua prospect, Central Namibia", Economic Geology 89 (1993) 1431-1453.
- [24] Newberry R.J., "Tungsten-bearing skarns of the Sierra Nevada, The Pine Creek Mine, California", Economic Geology 77 (1982) 823-844.
- [25] Zaw K., Singoyi B., "Formation of magnetite-scheelite skarn mineralization at Kara, northwestern Tasmania: Evidence from mineral chemistry and stable isotopes", Economic Geology 95 (2000) 1215-1230.
- [26] Orhan A., "Evolution of the Mo-rich scheelite skarn mineralization at Kozbudaklar, Western Anatolia, Turkey: Evidence from mineral chemistry and fluid inclusions", Ore Geology Review 80 (2017) 141-165.
- [27] Zaw K., "The CanTung E-Zone orebody, tungsten, Northwest Territories: A major scheelite skarn deposit", M.Sc. thesis, Queen's University, Kingston, Ontario, Canada (1976) 327 p. (unpublished).
- [28] Kwak T.A.P., Tan T.H., "The geochemistry of zoning in skarn minerals at the King Island (Dolphin) mine", Economic Geology 76 (1981) 468-497.
- [29] Einaudi M.T., Meinert L.D., Newberry R.J., "Skarn deposits", Society of Economic Geologists, Economic Geology 75th Anniversary (1981) 317-391.
- [30] Berger J., Femenias O., Mercier J.C.C., Demaiffe D., "Ocean floor hydrothermal metamorphism in Limousin ophiolites (Western French Massif Central): evidence of a rare preserved Variscan oceanic marker", Journal of Metamorphic Geology 23 (2005) 795-812.
- granitic rocks related with iron/mineralization in Yemaquan deposit, East Kunlun, NW China", Acta Petrolleii Sinica 30 (2014) 1647-1665 (in Chinese with English abstract).*
- [10] Somarin A.K., "Garnet composition as an indicator of Cu mineralization: evidence from skarn deposits of NW Iran", Journal of Geochemical Exploration 81 (2004) 47-57.
- [11] Liu J.N., Feng C.Y., Zhao Y.M., Li D.X., Xiao Y., Zhou J.H., Ma Y.S., "Characteristics of intrusive rock, metasomatites, mineralization and alteration in Yemaquan skarn Fe-Zn polymetallic deposit, Qinghai Province", Mineral Deposits 32 (2013) 77-93 (in Chinese with English abstract).
- [12] Zhai D.G., Liu J.J., Zhang H.Y., Wang J.P., Su, L., Yang, X.A., Wu S.H., "Origin of oscillatory zoned garnets from the Xieertala Fe-Zn skarn deposit, northern China: in situ LA-ICP-MS evidence", Lithos 190 (2014) 279-291.
- [13] Arai H., "A function for the R programming language to recast garnet analyses into end-members: Revision and porting of Muhsing and Griffin's method", Computer and Geoscience 36 (2010) 406-409.
- [14] Yavuz F., "WinPyrox: A Windows program for pyroxene calculation classification and thermobarometry", American Mineralogist 98 (2013) 1338-1359.
- [15] Mohajjal M., Fergusson C.L., Sahandi M.R., "Cretaceous-Tertiary convergence and continental collision, Sanandaj-Sirjan zone, western Iran", Journal of Asian Earth Sciences, 21 (2003) 397-412.
- [16] Dilek Y., Imamverdiyev N., Altunkaynak S., "Geochemistry and tectonics of Cenozoic volcanism in the Lesser Caucasus (Azerbaijan) and the peri-Arabian region: collision-induced mantle dynamics and its magmatic fingerprint", International Geology Review 52 (2010) 536-578.
- [17] Hosseini M., "Geological map of Qorveh", Geological Survey of Iran, scale 1:100000 (1999).
- [18] Azizi H., Mohammadi K., Asahara Y., Tsuboi M., Daneshvar N., Mehrabi B., "Strongly peraluminous leucogranite (Ebrahim-Attar granite) as evidence for extensional tectonic regime in the Cretaceous, Sanandaj-Sirjan zone, northwest Iran", Chemie der Erde 76 (2016) 529-541.
- [19] Azizi H., Zanjefili-Beiranvand M., Asahara Y., "Zircon U-Pb ages and petrogenesis of a tonalite trondjemite-granodiorite (TTG) complex in the northern Sanandaj-Sirjan zone, northwest

- M.Sc. thesis, University of Utah, (1980) 154 pp (Unpublished).
- [40] Hochella JR. M.F., Liou J.G., Keskinen M.J., Kim H.S., "Synthesis and stability relations of magnesium idocras", Economic Geology 77 (1982) 798-808.
- [41] Dobson D.C., "Geology and alteration of the Lost River tin-tungsten-fluorine deposit, Alaska", Economic Geology 77 (1982) 1033-105.
- [42] Shimazaki H., "Grossular-spessartine-almandine garnets from some Japanese scheelite skarns", Canadian Mineralogist 15 (1977) 74-80.
- [43] Burton J.C., Taylor L.A., Chou I.M., "The fO_2 -T and fS_2 -T stability relations of hedenbergite and of hedenbergite-johannsenite solid solutions", Economic Geology 77 (1982) 764-783.
- [44] Liou J.G., "Synthesis and stability relations of epidote, $Ca_2Al_2FeSi_3O_{12}(OH)$ ", Journal of Petrology 14 (1973) 381-41.
- [45] Moeller D.P., Chou I.M., "Experimental investigation of andradite and hedenbergite equilibria employing the hydrogen sensor technique, with revised estimates of ΔfG° m,298 for andradite and hedenbergite", American Mineralogists 75 (1990) 1327-1341.
- [46] Haas J.L., Robie R.A., "Thermodynamic data for wustite, $Fe_{0.947}O$ magnetite, Fe_3O_4 , and hematite, Fe_2O_3 ", American geophysics Union Trans. 54 (1973) 488.
- [47] Simon G., Kesler S.E., Essene E.J., Chryssoulis S.L., "Gold in porphyry copper deposits: experimental determination of the distribution of gold in the Cu-Fe-S system at 400° to 700 °C", Economic Geology 95 (2000) 259-270.
- [31] Nakano T., "Fluctuation model for compositional heterogeneity of skarn clinopyroxenes", Geochemical Journal 23 (1989) 91-99.
- [32] Nakano T., "An antipathetic relation between the hedenbergite and johannsenite components in skarn clinopyroxene from the Kagata tungsten deposit, Central Japan", Canadian Mineralogist 29 (1991) 427-434.
- [33] Sheikhi F., Alaminia Z., Tabakh-Shabani A.A. "Seranjic skarn geothermometry, SW Ghorveh, Kurdestan, Iran", Iranian Journal of Crystallography and Mineralogy 20 (2012) 343-355 (in Persian with English abstract).
- [34] Meinert L.D., Hedenquist J.W., Satoh H., Matsuhisa Y., "Formation of anhydrous and hydrous skarn in Cu-Au ore deposits by magmatic fluids", Economic Geology 98 (2003) 147-156.
- [35] Kwak T.A.P., "Fluid inclusions in skarns (carbonate replacement deposits)", Journal of Metamorphic Geology 4 (1986) 363-384.
- [36] Greenwood H.J., "Wollastonite: Stability in H_2O-CO_2 mixtures and occurrence in a contact-metamorphic aureole near Salmo, British Columbia, Canada", American Mineralogy 52 (1967) 1669-1680.
- [37] Newton R. C., "Some alc-silicate equilibrium relations", American journal of science, 264 (1966) 204-222.
- [38] Gordon T.M., Greenwood H.J., "The stability of grossular in H_2O-CO_2 mixtures", American Mineralogy 56 (1971) 1674-1688.
- [39] Sweeney M.I., "Geochemistry of garnets from the North Ore shoot, Bingham district, Utah",